

# Inducción experimental transplacentaria y neonatal de tumores nerviosos a ratas Wistar con etilnitrosourea

Teresa Ribalta Farrés

**ADVERTIMENT.** La consulta d'aquesta tesi queda condicionada a l'acceptació de les següents condicions d'ús: La difusió d'aquesta tesi per mitjà del servei TDX ([www.tesisenxarxa.net](http://www.tesisenxarxa.net)) ha estat autoritzada pels titulars dels drets de propietat intel·lectual únicament per a usos privats emmarcats en activitats d'investigació i docència. No s'autoritza la seva reproducció amb finalitats de lucre ni la seva difusió i posada a disposició des d'un lloc aliè al servei TDX. No s'autoritza la presentació del seu contingut en una finestra o marc aliè a TDX (framing). Aquesta reserva de drets afecta tant al resum de presentació de la tesi com als seus continguts. En la utilització o cita de parts de la tesi és obligat indicar el nom de la persona autora.

**ADVERTENCIA.** La consulta de esta tesis queda condicionada a la aceptación de las siguientes condiciones de uso: La difusión de esta tesis por medio del servicio TDR ([www.tesisenred.net](http://www.tesisenred.net)) ha sido autorizada por los titulares de los derechos de propiedad intelectual únicamente para usos privados enmarcados en actividades de investigación y docencia. No se autoriza su reproducción con finalidades de lucro ni su difusión y puesta a disposición desde un sitio ajeno al servicio TDR. No se autoriza la presentación de su contenido en una ventana o marco ajeno a TDR (framing). Esta reserva de derechos afecta tanto al resumen de presentación de la tesis como a sus contenidos. En la utilización o cita de partes de la tesis es obligado indicar el nombre de la persona autora.

**WARNING.** On having consulted this thesis you're accepting the following use conditions: Spreading this thesis by the TDX ([www.tesisenxarxa.net](http://www.tesisenxarxa.net)) service has been authorized by the titular of the intellectual property rights only for private uses placed in investigation and teaching activities. Reproduction with lucrative aims is not authorized neither its spreading and availability from a site foreign to the TDX service. Introducing its content in a window or frame foreign to the TDX service is not authorized (framing). This rights affect to the presentation summary of the thesis as well as to its contents. In the using or citation of parts of the thesis it's obliged to indicate the name of the author.

R. 194.504

INDUCCION TRANSPLACENTARIA Y NEONATAL  
DE TUMORES NERVIOSOS EN RATAS WISTAR  
CON ETILNITROSOUREA

T E S I S   D O C T O R A L

TERESA M. RIBALTA FARRES

DIRECTOR: PROF. DR. A. CARDESA

FACULTAD DE MEDICINA  
UNIVERSIDAD DE BARCELONA

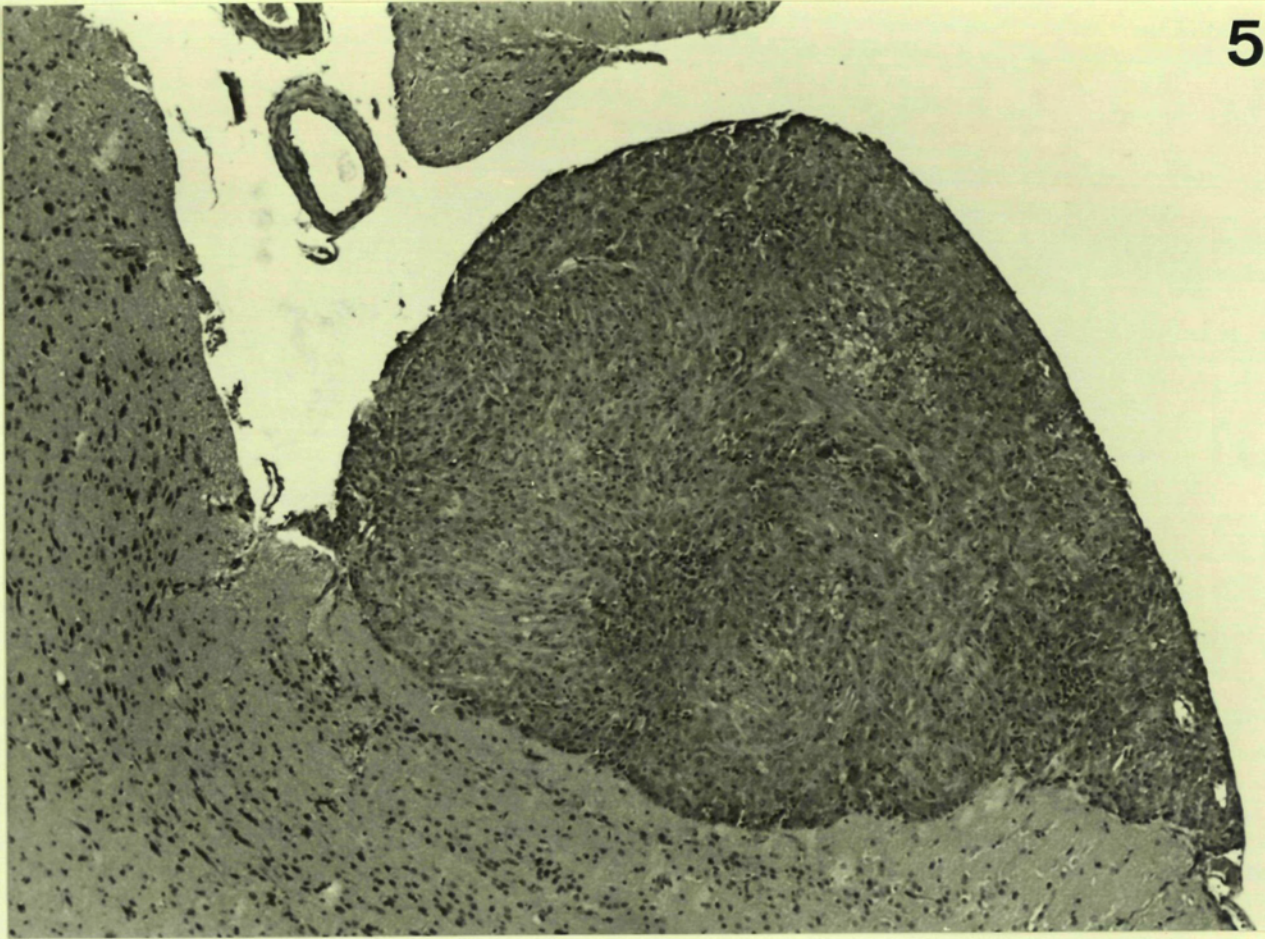
JULIO 1985

Fig.51:

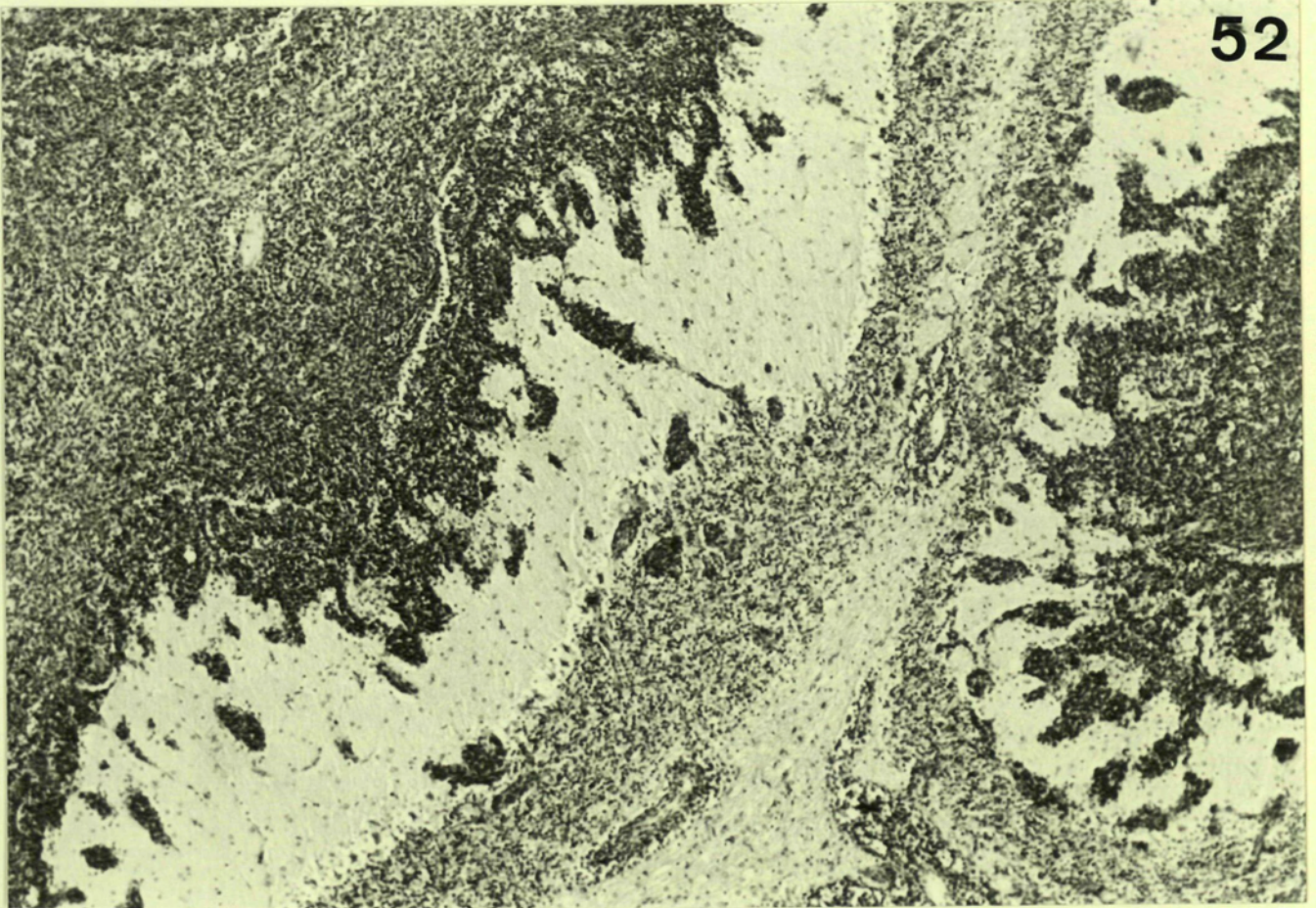
Tumor benigno localizado en la meninge de la base cerebr  
bral, adherido al córtex.

Fig.52:

Infiltración meníngea cerebelosa masiva por un tumor infiltrado  
diferenciado que infiltra la capa molecular.



51



52

Fig.53:

Tumor nervioso periférico localizado en V par craneal de recho. Se observa la característica imagen bifásica con áreas densas (zona inferior) y áreas más laxas y quistificadas (zona superior).

Fig.54:

Detalle del caso anterior en una zona limítrofe.

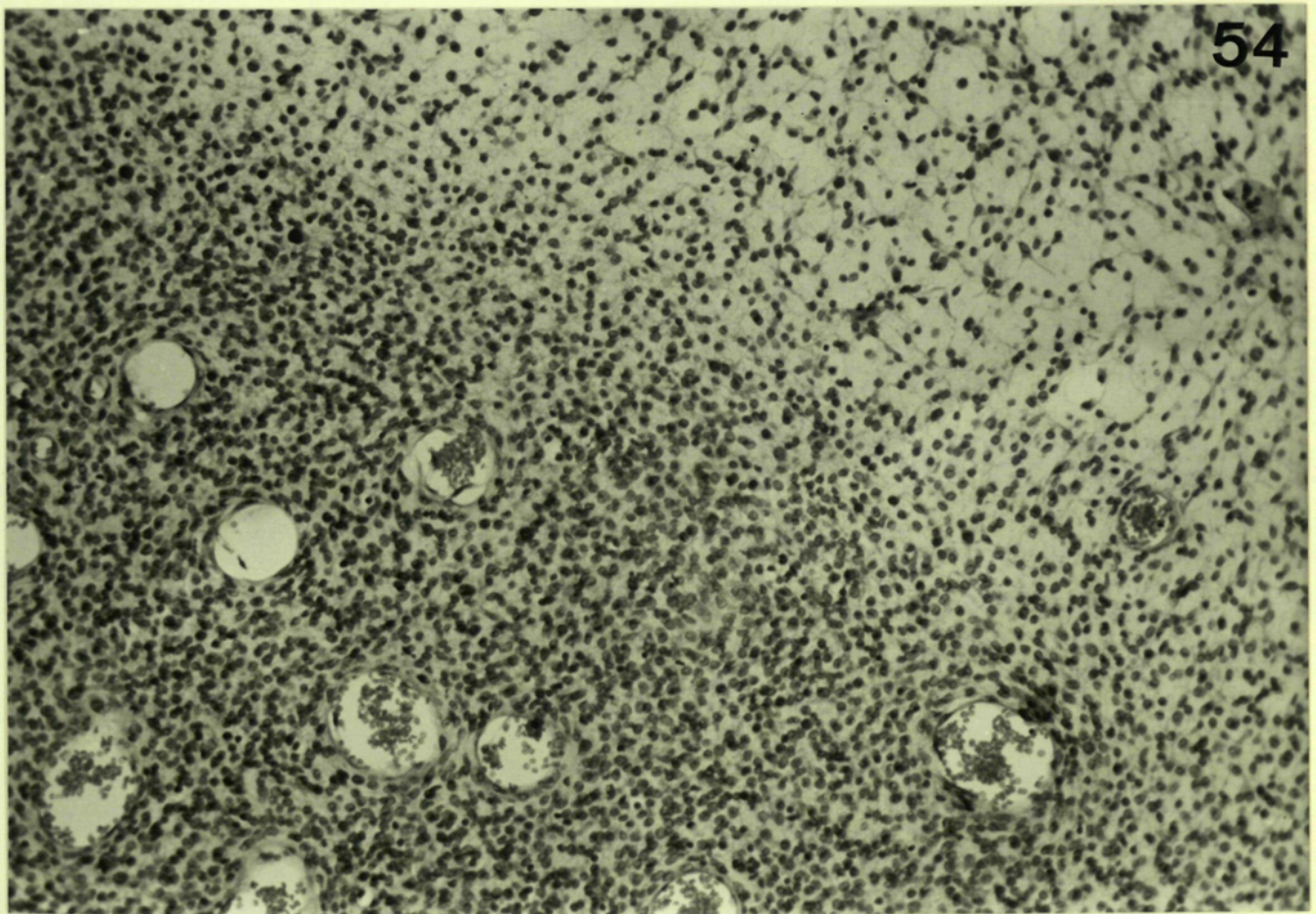
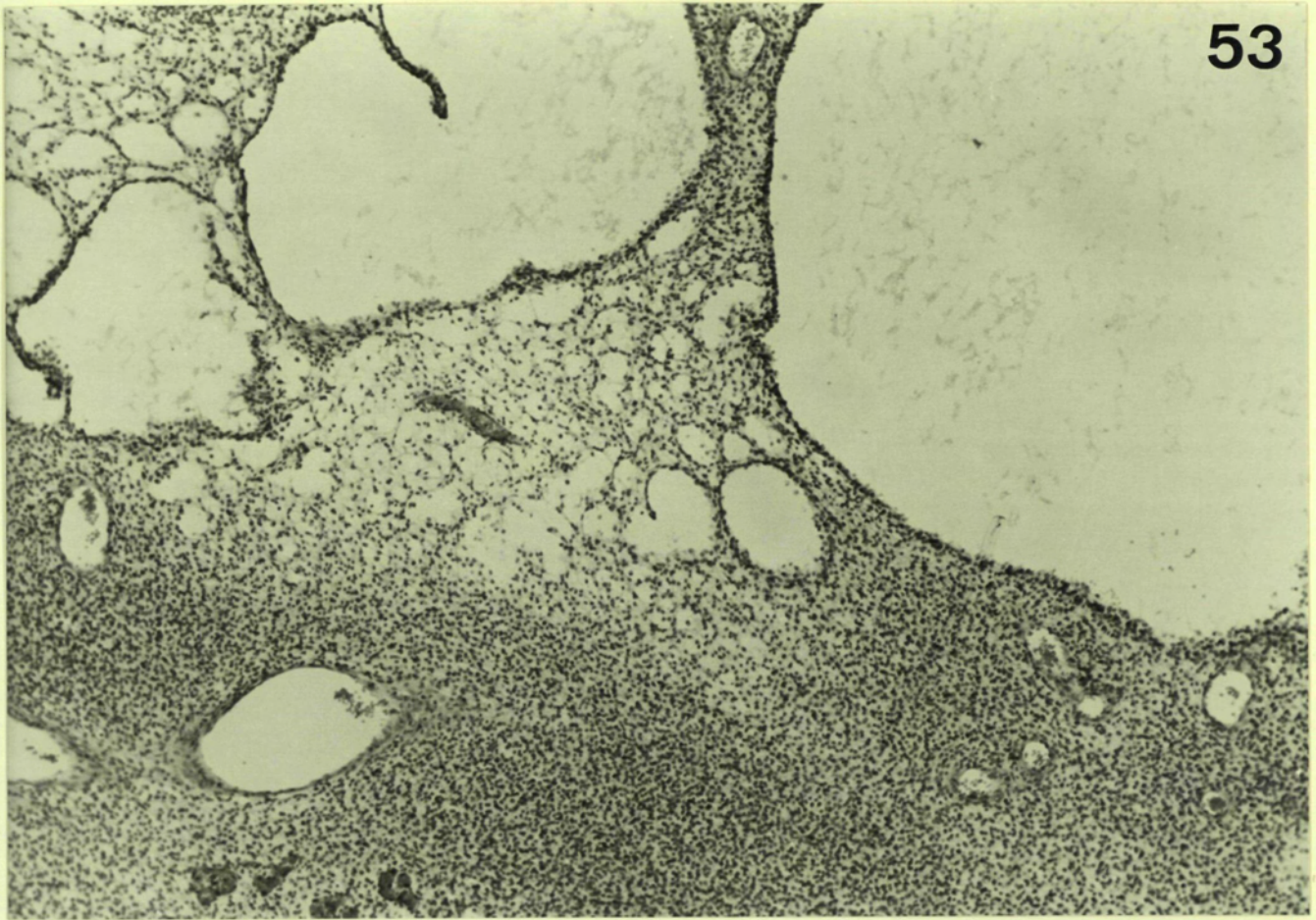


Fig.55:

Aspecto citológico de las áreas densas del caso anterior. Puede observarse la existencia de dos tipos celulares: células redondas y pequeñas entremezcladas con células fusiformes.

Fig.56:

Aspecto citológico de las áreas laxas del mismo caso. Las células tumorales se encuentran separadas por un abundante material intersticial amorfo.

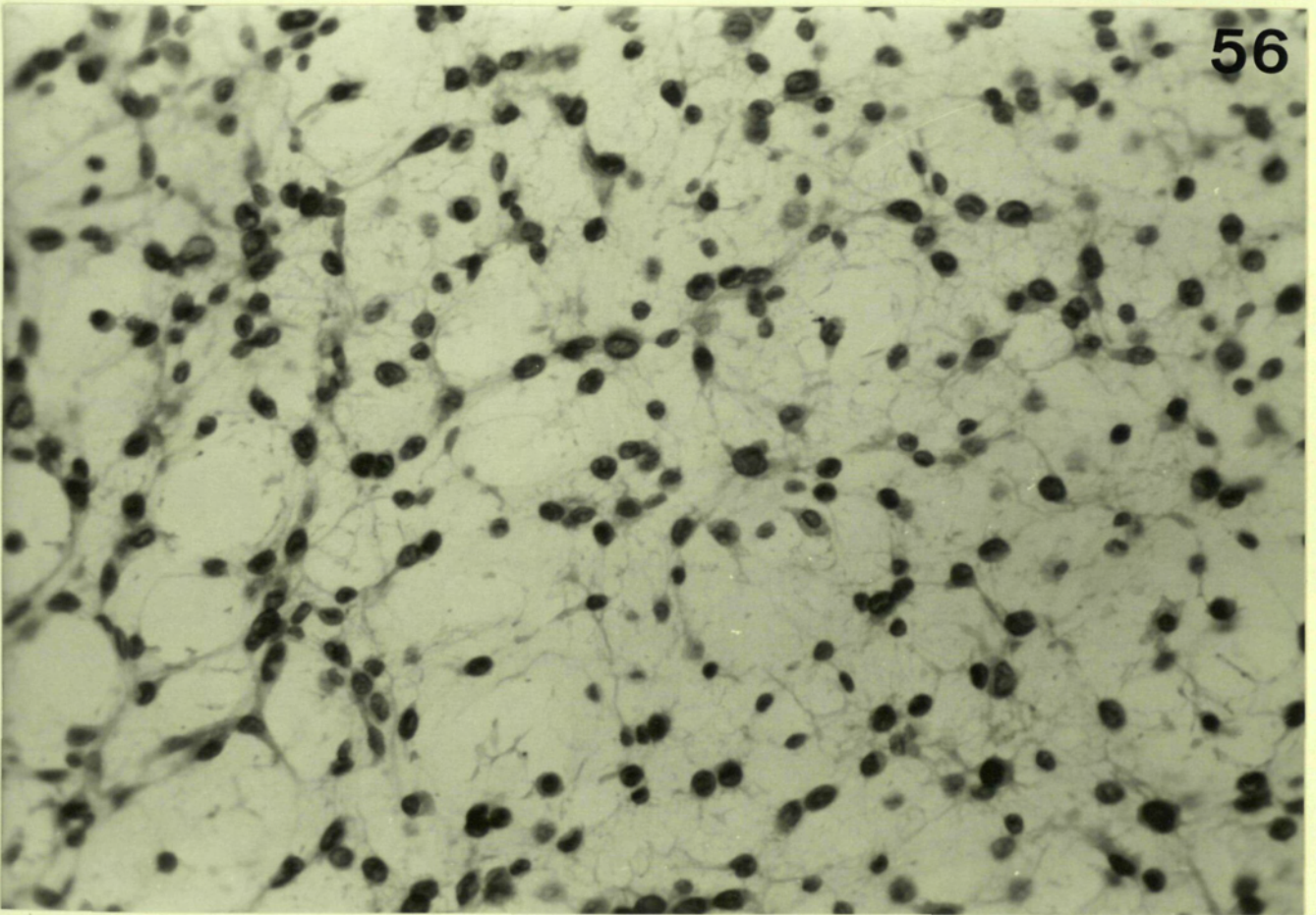
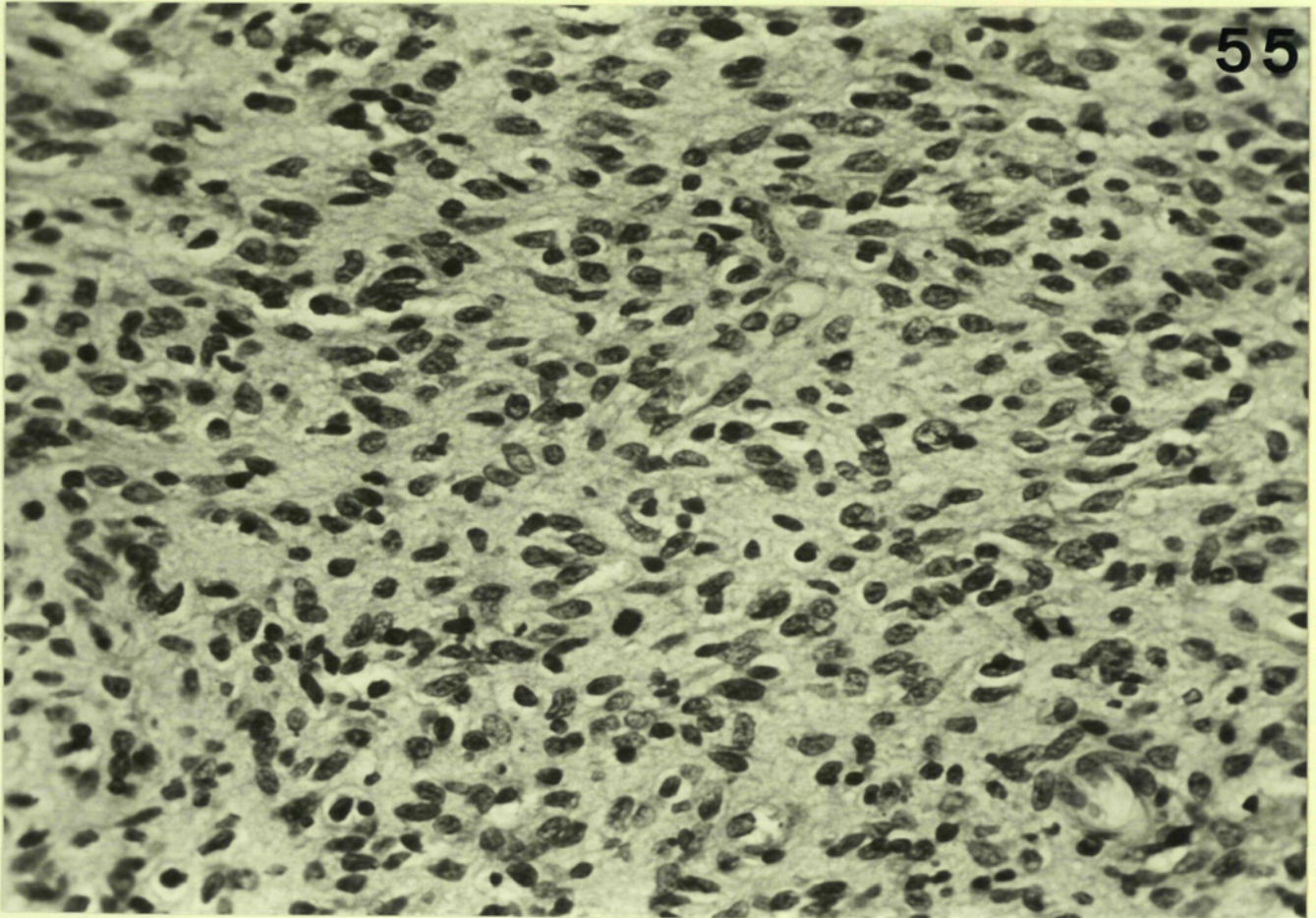


Fig.57:

Aspecto histológico de un tumor nervioso del nervio tri  
gémino con un patrón sarcomatoso pleomórfico inusual.

Fig.58:

Aspecto citológico maligno, con abundantes mitosis y fo  
cos de necrosis con pseudoempalizadas en un tumor origi-  
nado en el V par cerebral.

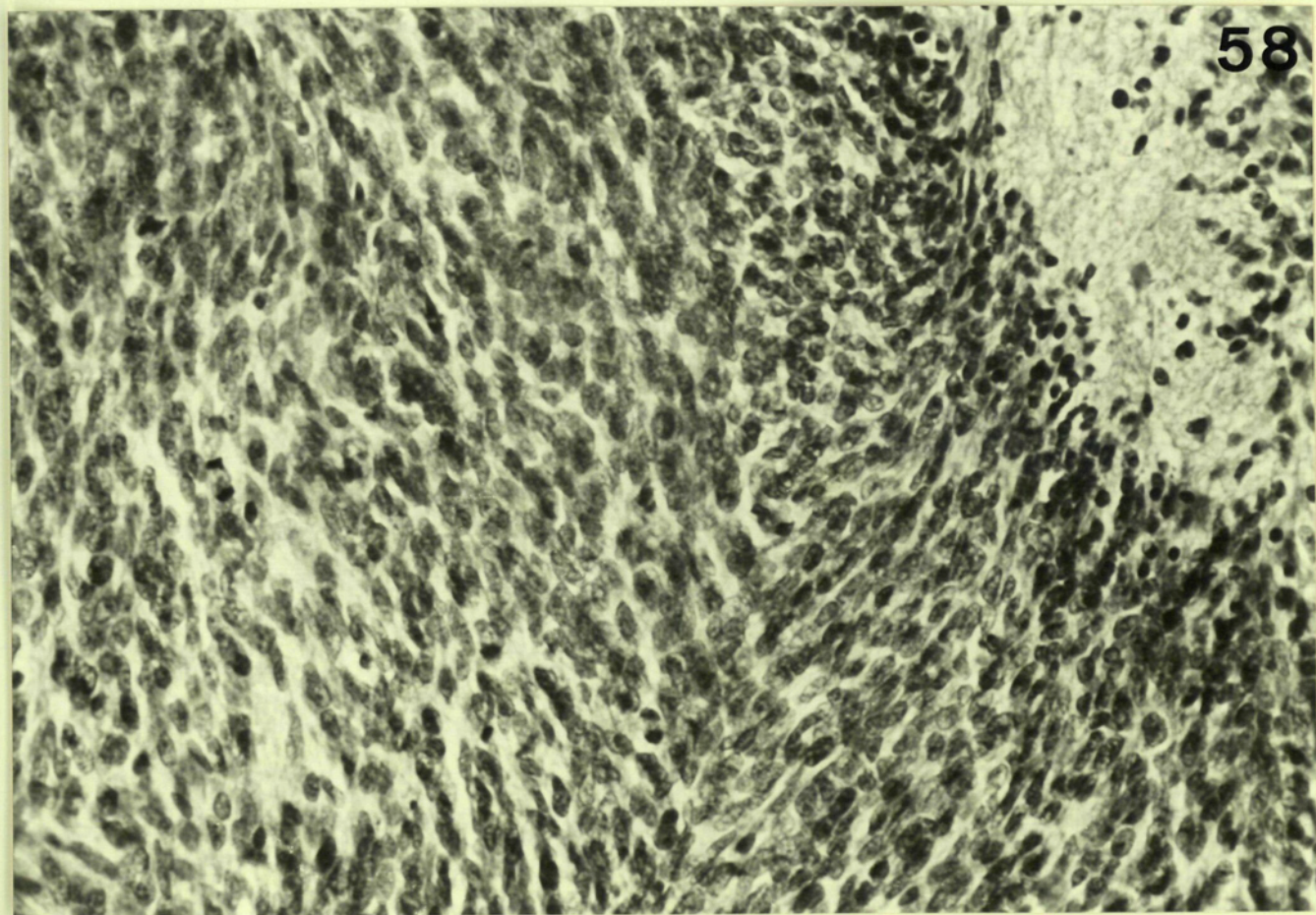
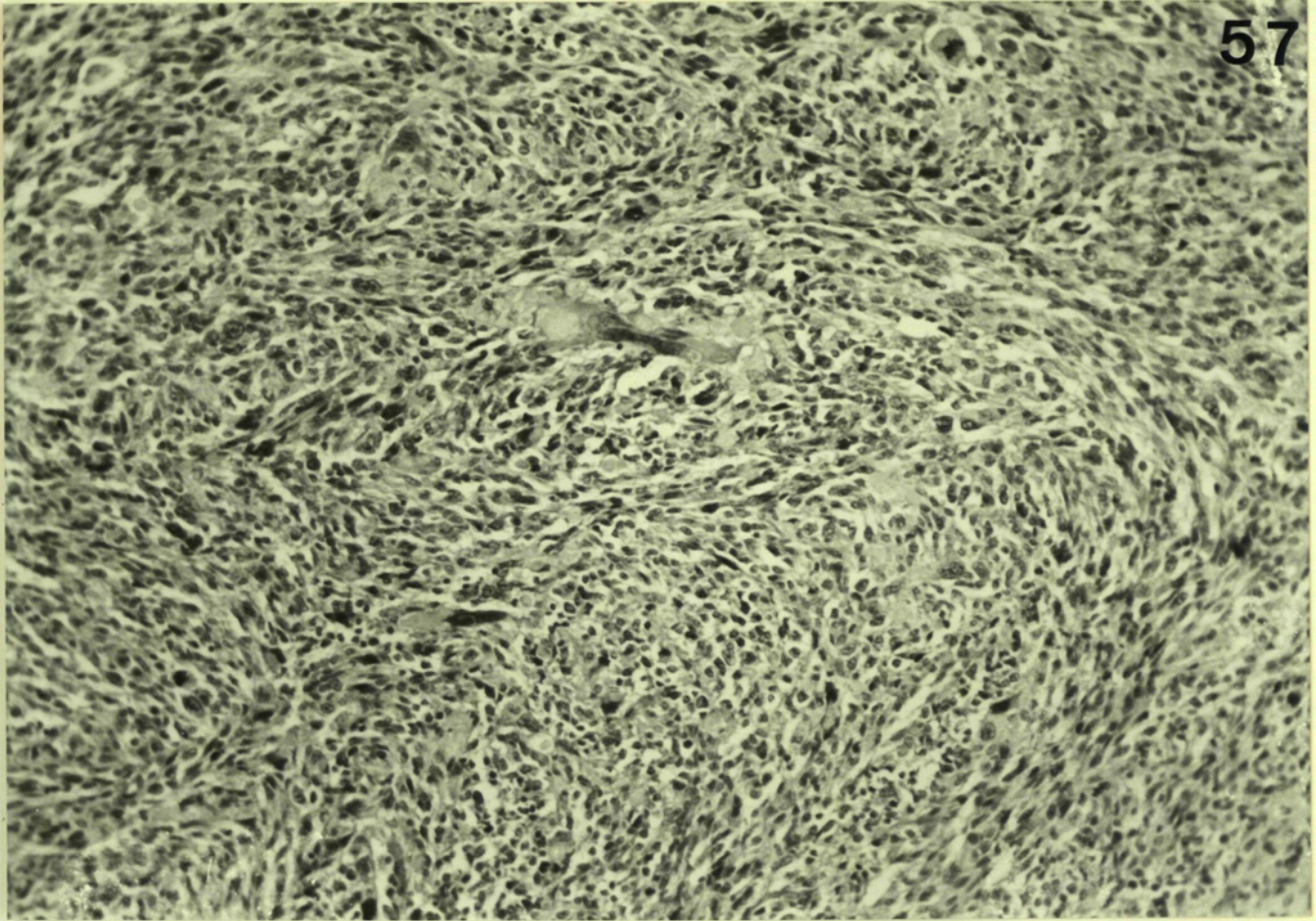


Fig.59:

Areas microquísticas en un tumor nervioso de localización radicular espinal.

Fig.60:

Fase más evolucionada de la formación de espacios quísticos.

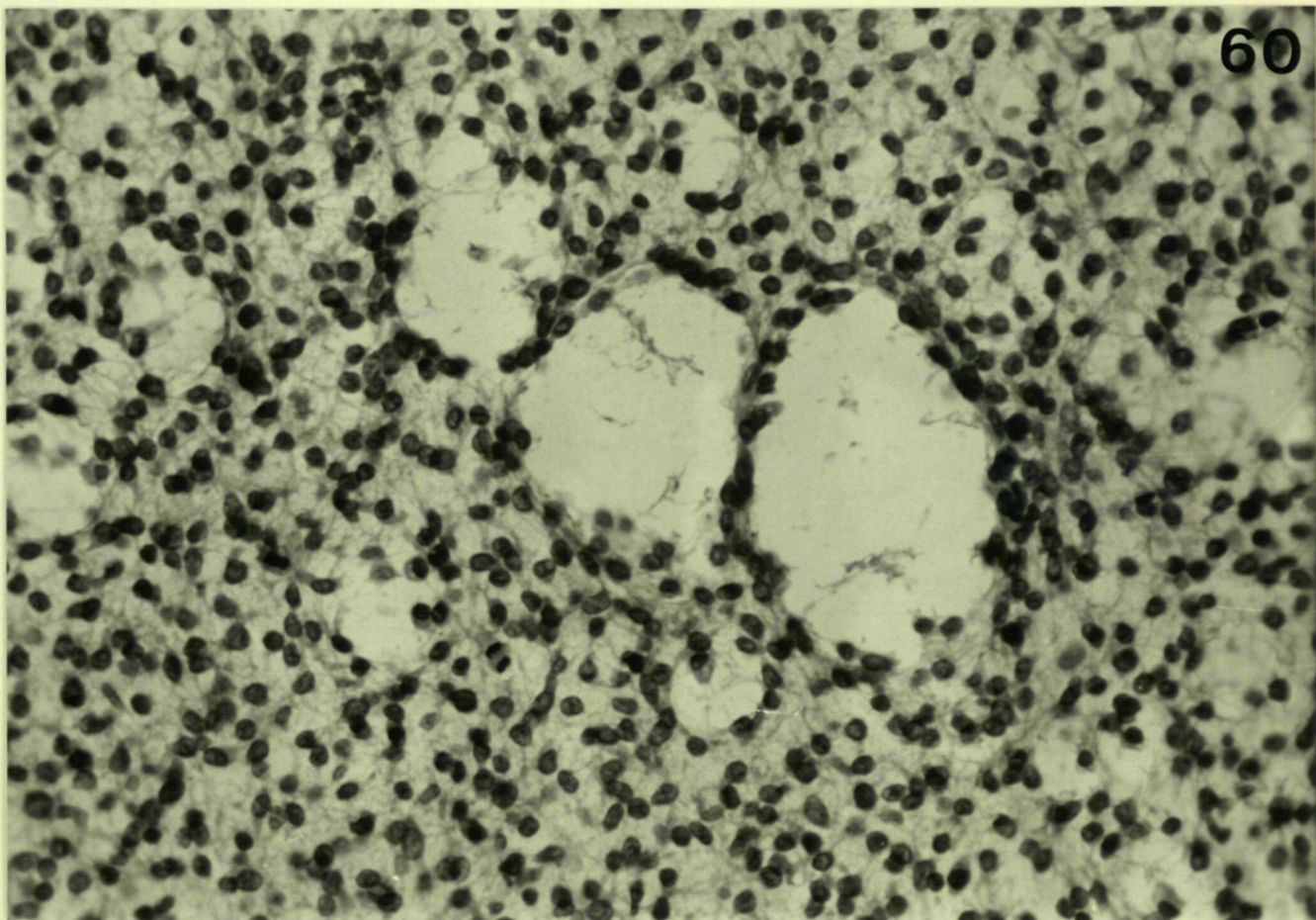
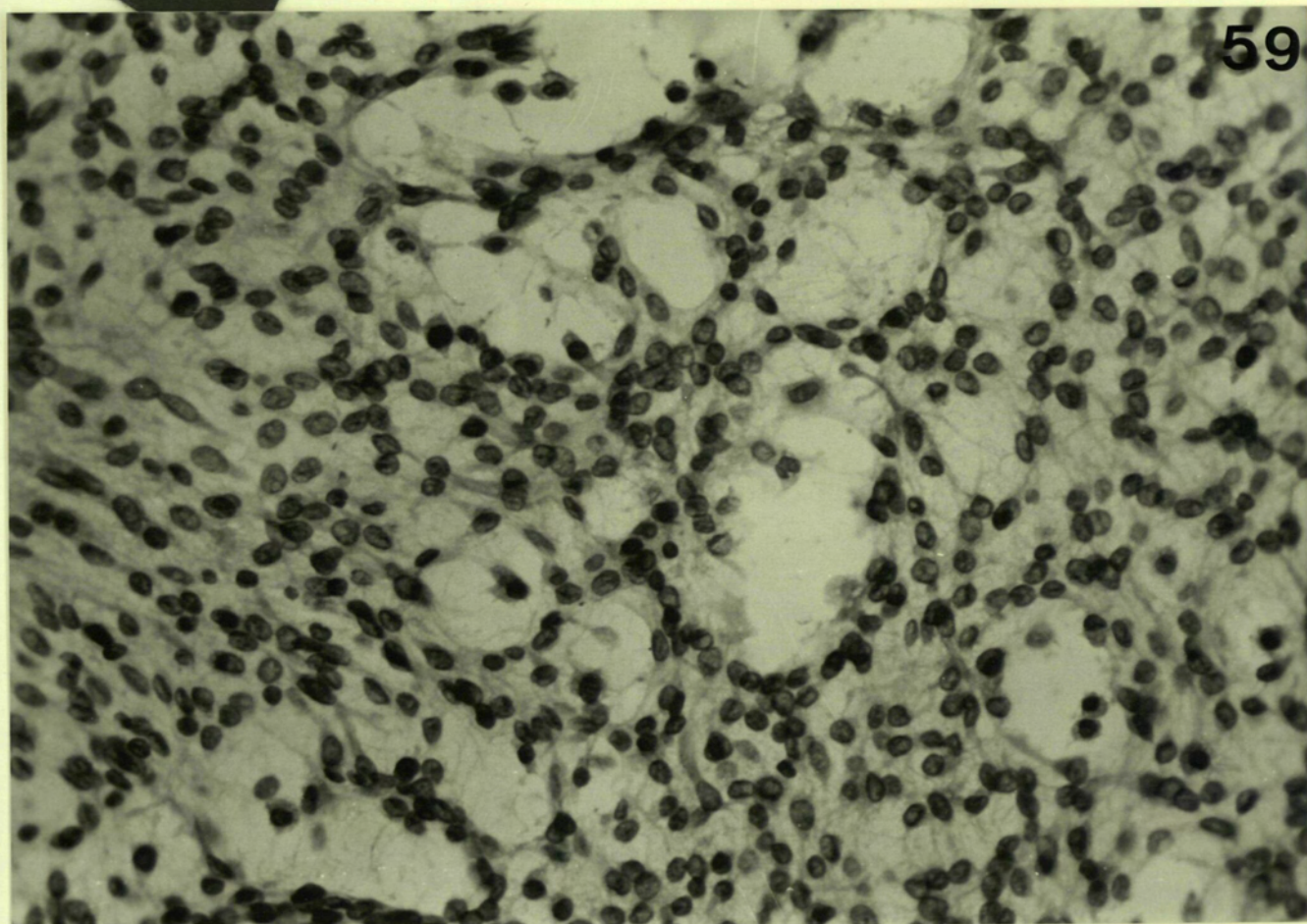


Fig.61:

Espacios quísticos de mayor tamaño en el seno de un tumor nervioso periférico.

Fig.62:

Grandes formaciones quísticas, ya visibles macroscópicamente.

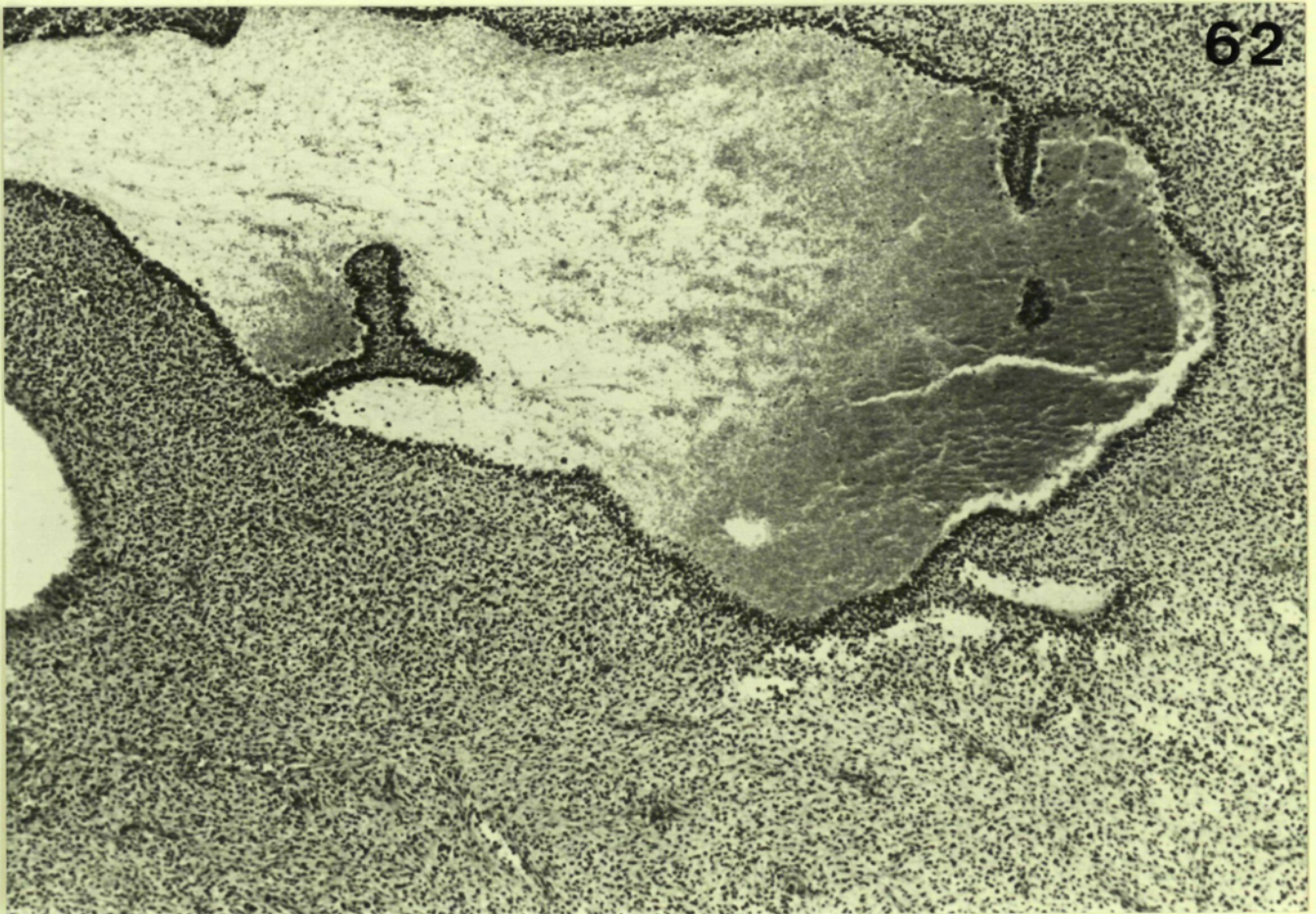
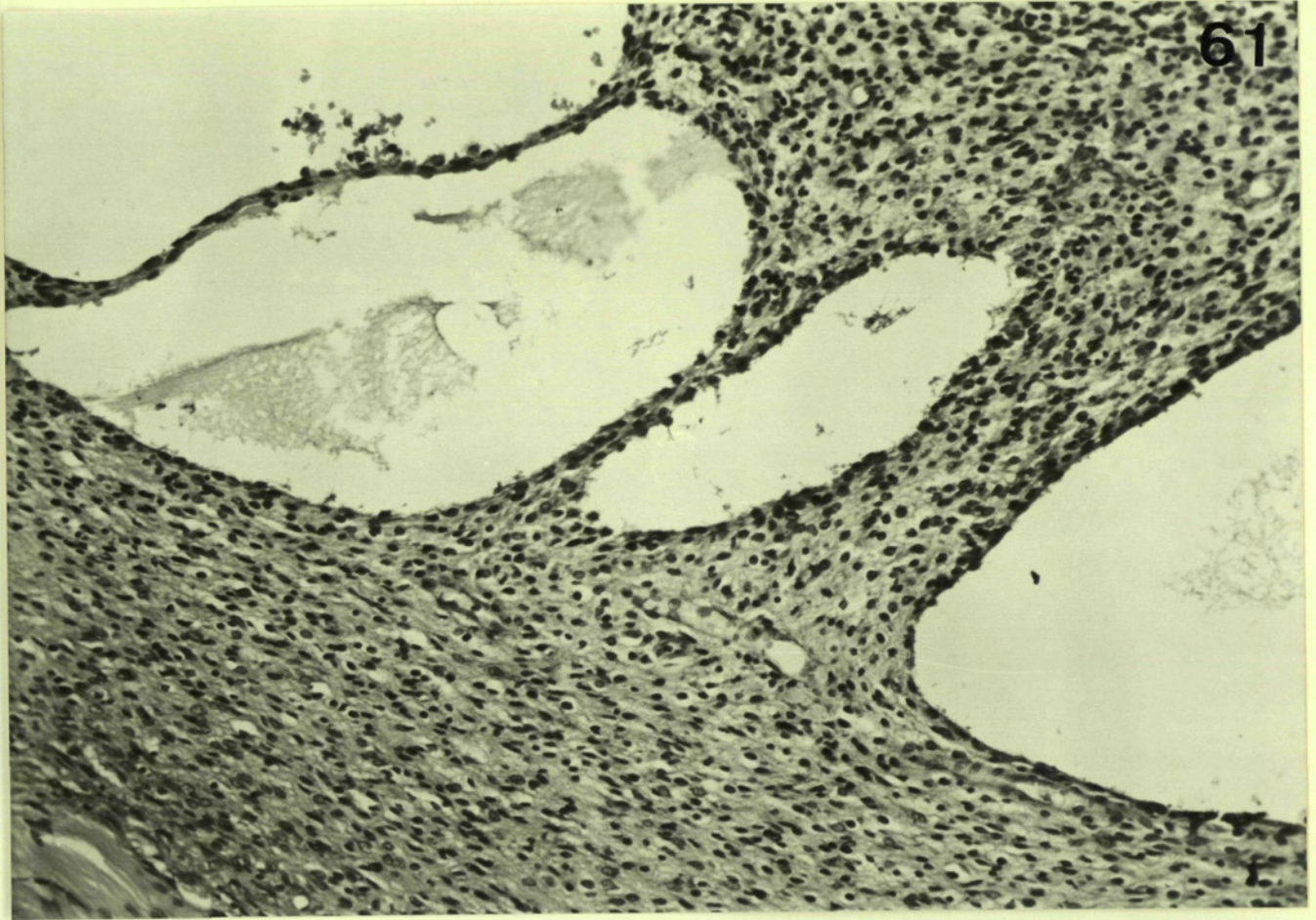


Fig.63:

Intensa vascularización de los tumores nerviosos periféricos. Los vasos son de paredes delgadas y formas irregulares.

Fig.64:

Extensa zona necrotica y hemorrágica con pseudoempalizada periférica de células tumorales en el seno de un tumor nervioso periférico.

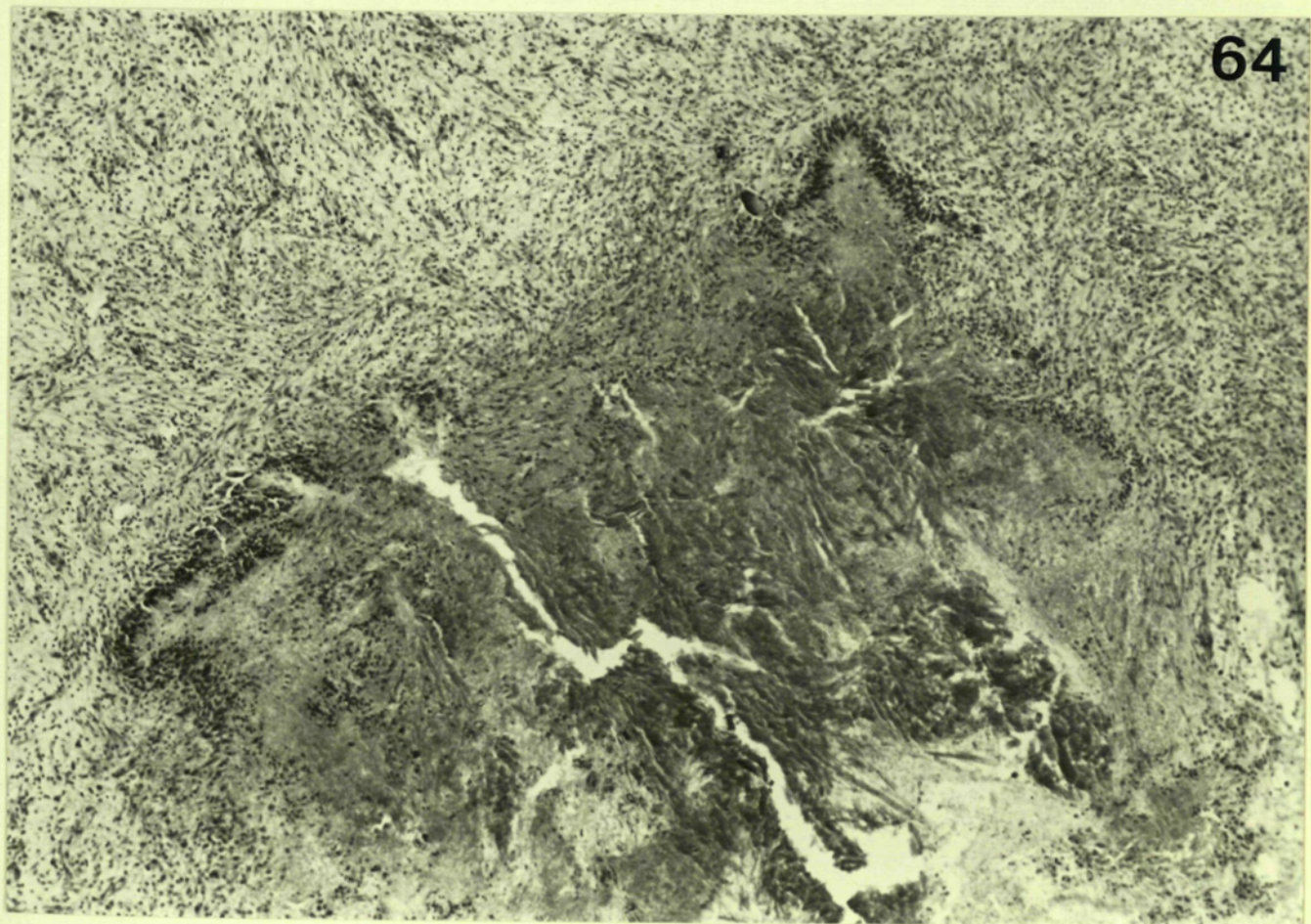
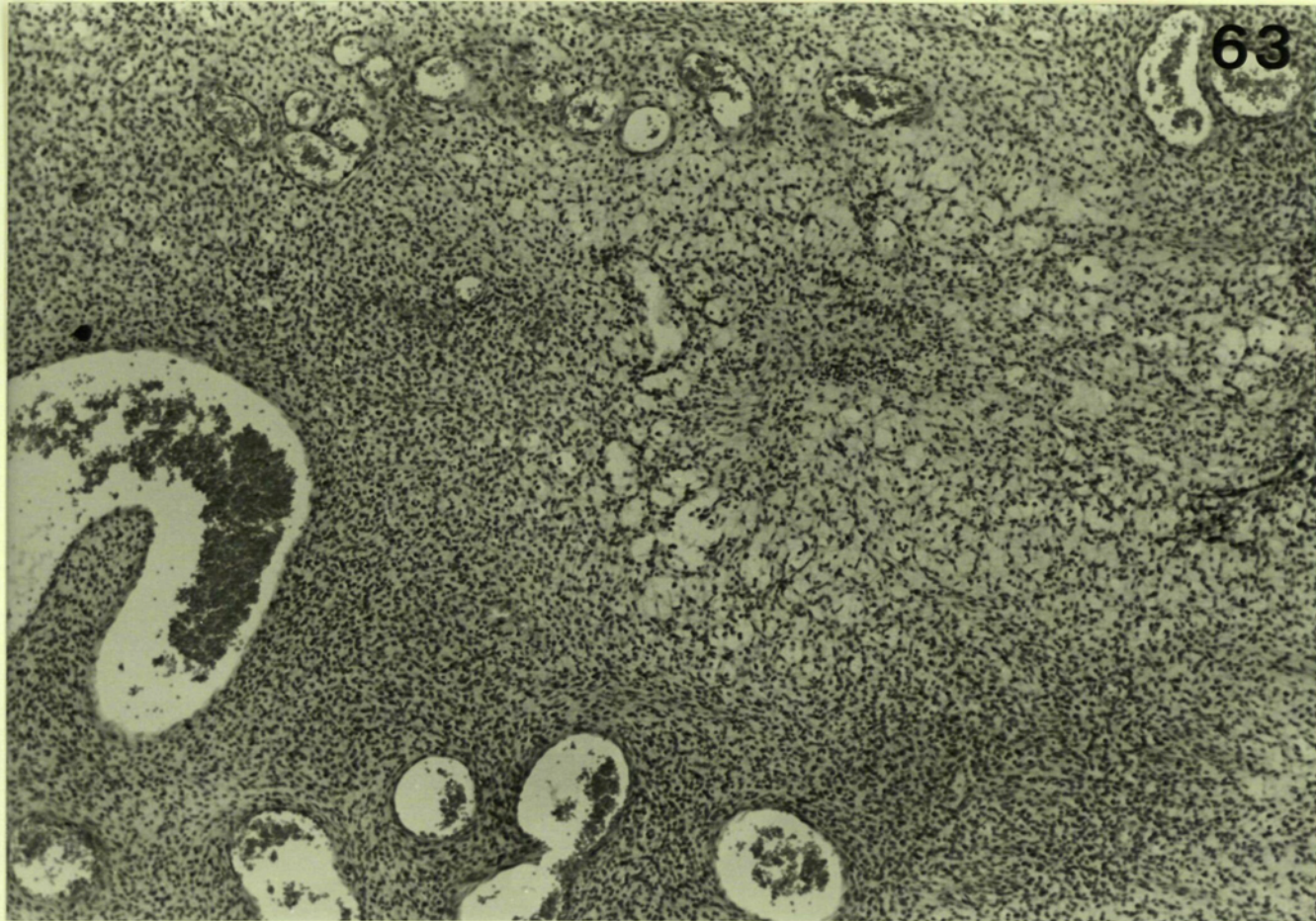


Fig.65:

Infiltración de las estructuras orbitarias (Glandula de Harderian) por un tumor nervioso originado en la raiz de un nervio trigémino que se ha extendido a lo largo de la raiz oftálmica.

Fig.66:

Infiltración muscular esquelética de la musculatura paravertebral por un tumor nervioso originado en las raíces espinales.

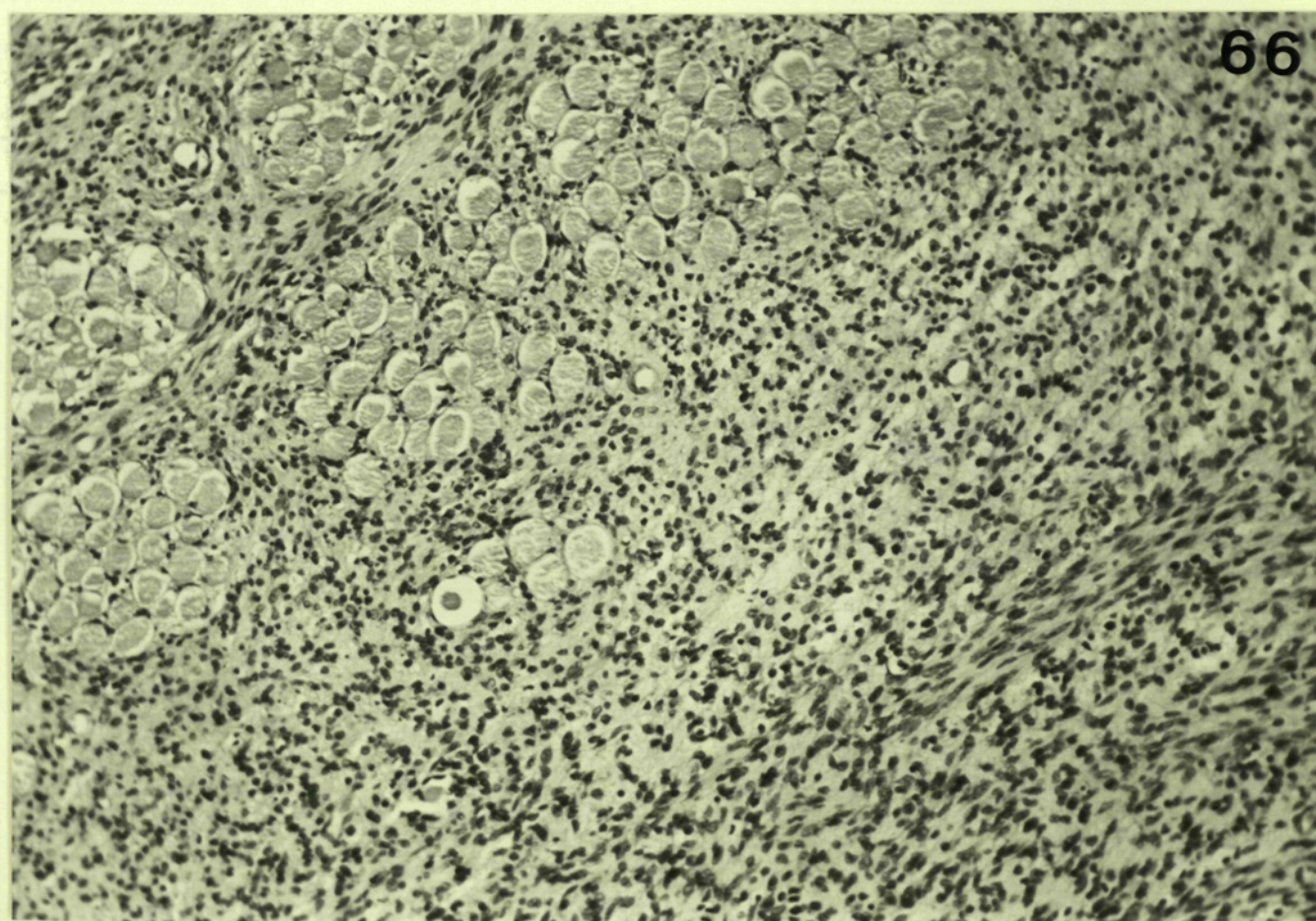
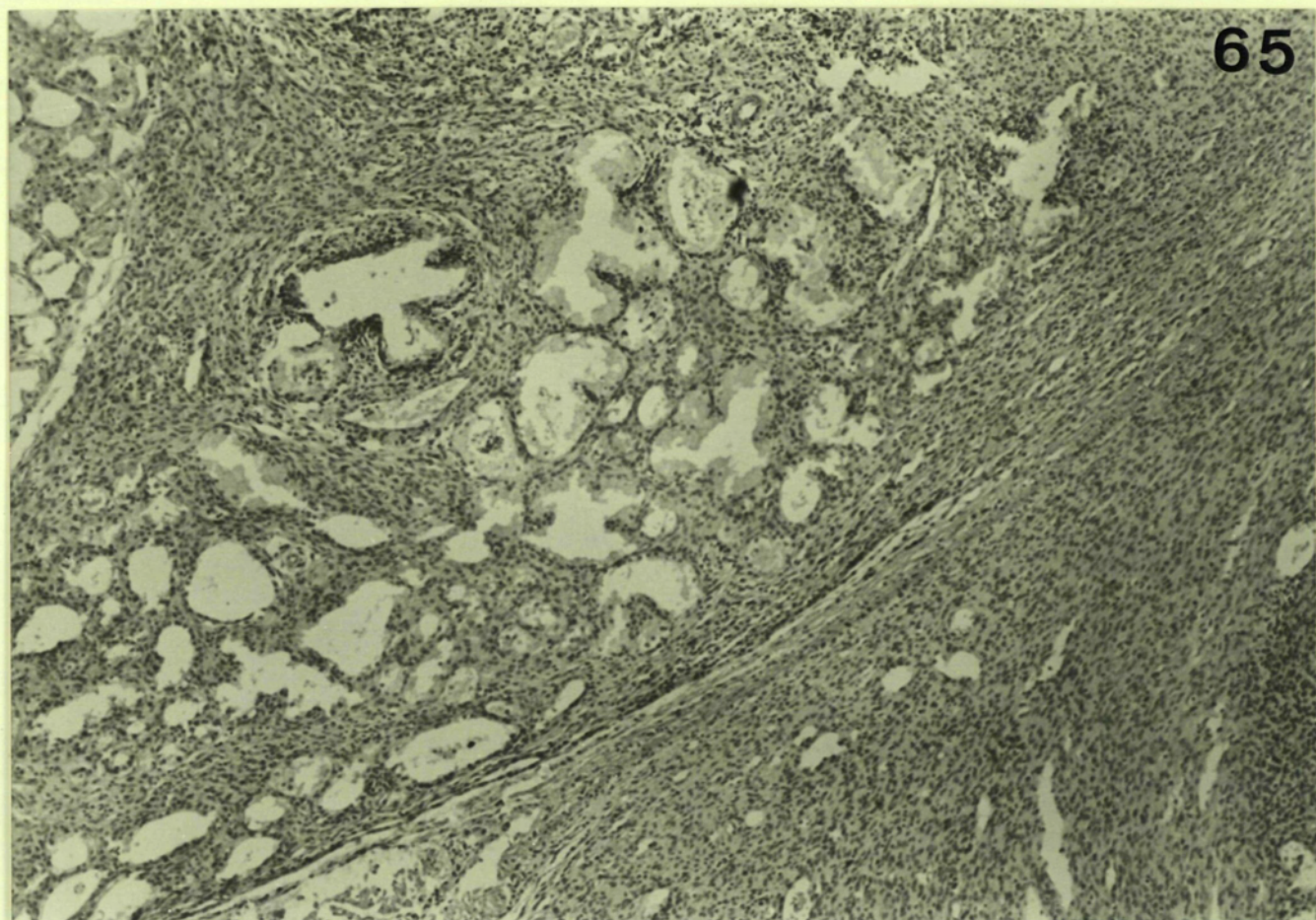


Fig.67:

Cambios proliferativos limitados a varias raíces nervios espinales. Es evidente la diferencia existente con las raíces indemnes adyacentes.

Fig.68:

Detalle de la proliferación celular del caso anterior.

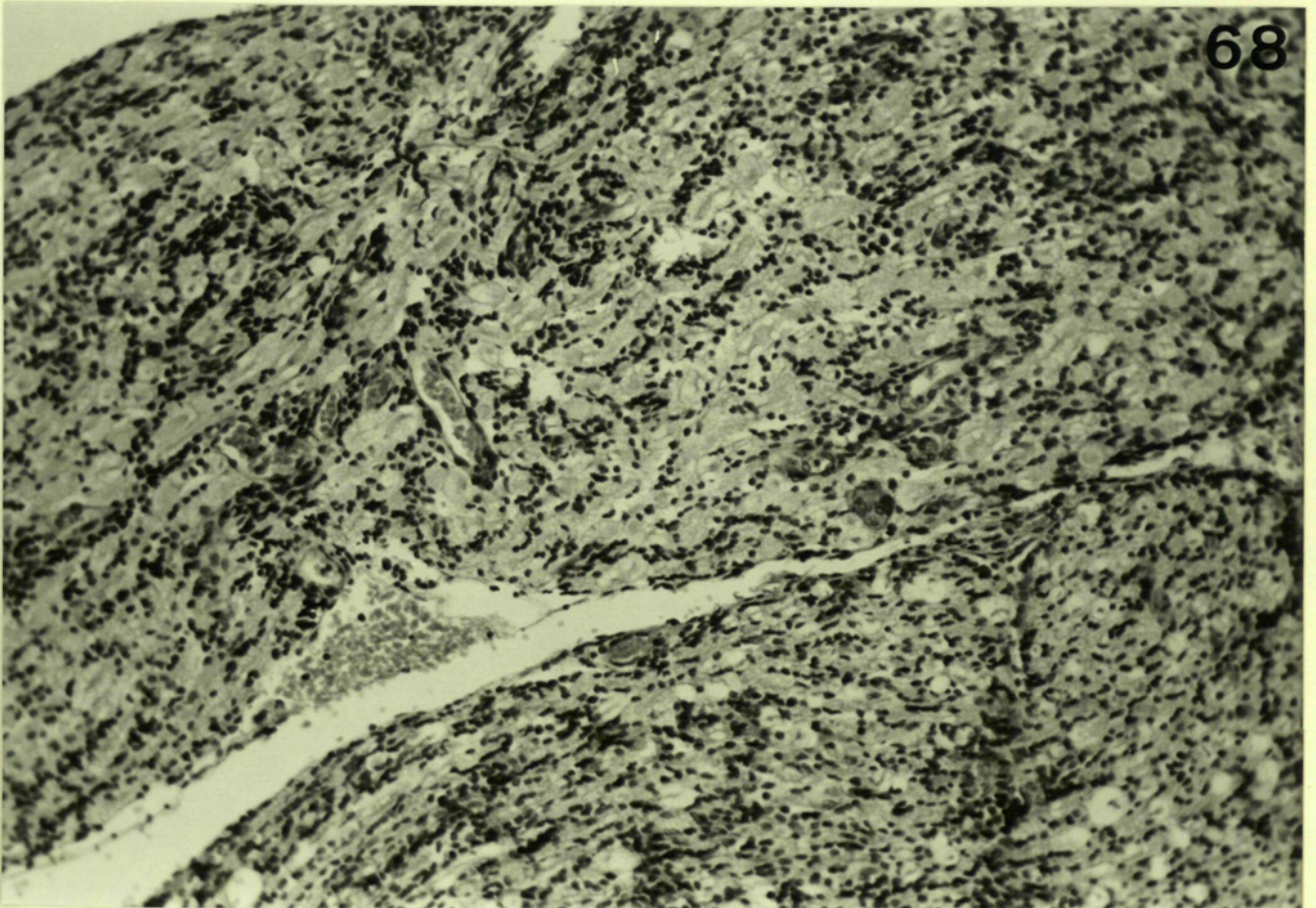
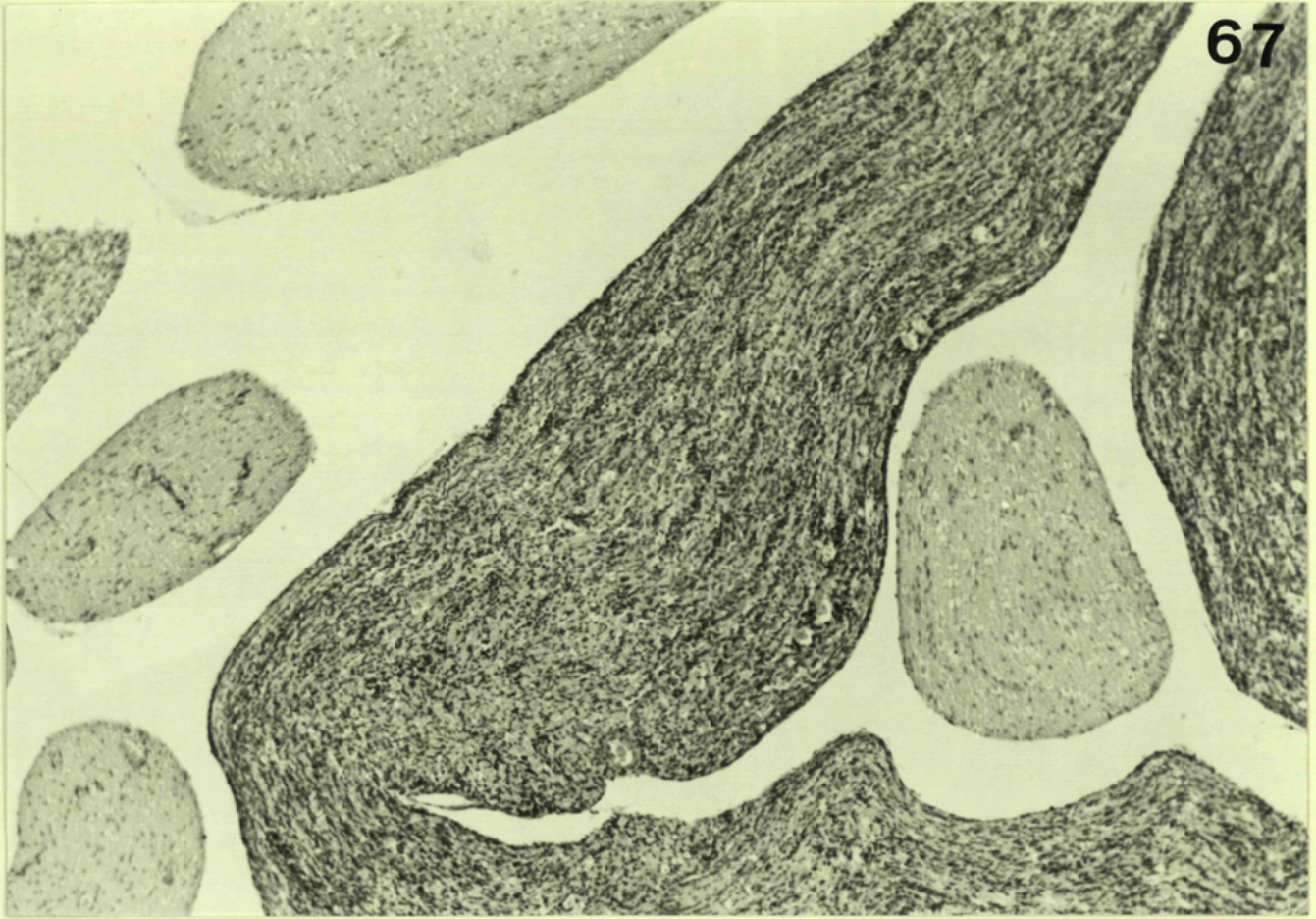


Fig.69:

Las células proliferadas disecan las fibras nerviosas mielínicas del nervio espinal afectado.

Fig.70:

Aproximación de una zona del caso anterior. Las células proliferantes presentan predominantemente un aspecto fusiforme.

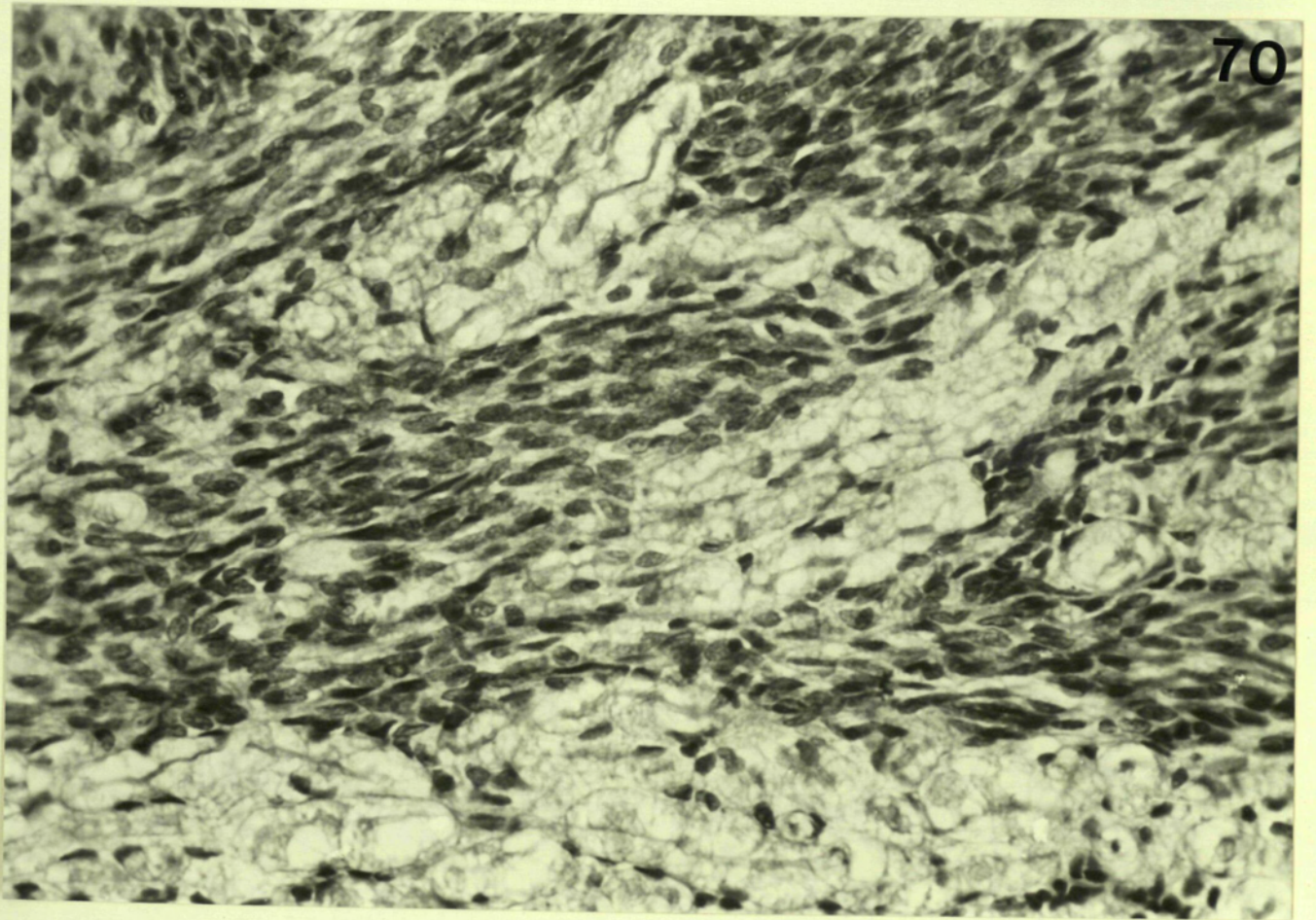
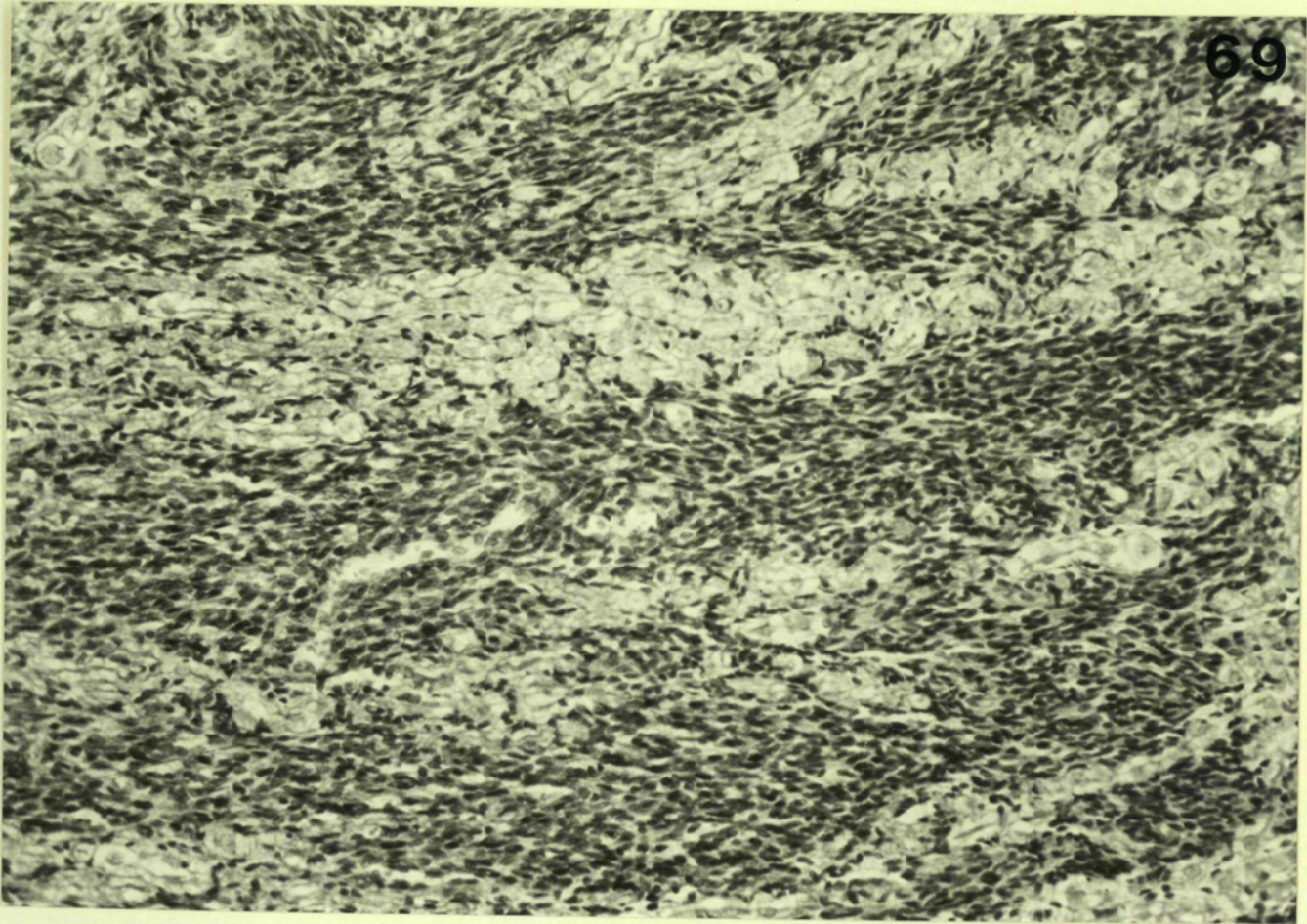


Fig.71:

Infiltración tumoral de un ganglio espinal en el que se mantienen aparentemente indemnes las neuronas ganglionares.

Fig.72:

Detalle citológico de la imagen anterior.

